

Un auto-morphisme bidendriforme de WQSym

Séminaire ULCO

Hugo Mlodecki

Directeurs:

Florent Hivert
Viviane Pons

18 Mars 2021

Exemples d'algèbres de Hopf

- Arbres binaires, **PBT**, Loday-Ronco
- Fonctions symétriques non-commutatives, **Sym**
- Fonctions quasi-symétriques, *QSym*
- Permutations, **FQSym**, Malvenuto-Reutenauer
- Mots tassés, **WQSym**, Hivert

Mots tassés

Définition

Un mot sur l'alphabet $\mathbb{N}_{>0}$ est dit **tassé** si toutes les lettres de 1 à son maximum m apparaissent au moins une fois.

Mots tassés

Définition

Un mot sur l'alphabet $\mathbb{N}_{>0}$ est dit **tassé** si toutes les lettres de 1 à son maximum m apparaissent au moins une fois.

Mots tassés de tailles 0, 1, 2 et 3

- ϵ

Mots tassés

Définition

Un mot sur l'alphabet $\mathbb{N}_{>0}$ est dit **tassé** si toutes les lettres de 1 à son maximum m apparaissent au moins une fois.

Mots tassés de tailles 0, 1, 2 et 3

- ϵ
- 1

Mots tassés

Définition

Un mot sur l'alphabet $\mathbb{N}_{>0}$ est dit **tassé** si toutes les lettres de 1 à son maximum m apparaissent au moins une fois.

Mots tassés de tailles 0, 1, 2 et 3

- ϵ
- 1
- 12 21 11

Mots tassés

Définition

Un mot sur l'alphabet $\mathbb{N}_{>0}$ est dit **tassé** si toutes les lettres de 1 à son maximum m apparaissent au moins une fois.

Mots tassés de tailles 0, 1, 2 et 3

- ϵ
- 1
- 12 21 11
- 123 132 213 231 312 321
122 212 221 112 121 211 111

Mots tassés

Définition

Un mot sur l'alphabet $\mathbb{N}_{>0}$ est dit **tassé** si toutes les lettres de 1 à son maximum m apparaissent au moins une fois.

Mots tassés de tailles 0, 1, 2 et 3

- ϵ
- 1
- 12 21 11
- 123 132 213 231 312 321
 122 212 221 112 121 211 111

Mots tassés de taille n [OEIS A000670]

n	1	2	3	4	5	6	7	8
PW_n	1	3	13	75	541	4683	47293	545835

Tassement

Exemple

$24154 \notin \mathbf{PW}$

Tassement

Exemple

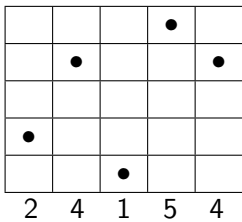
$24154 \notin \mathbf{PW}$ mais $pack(24154) = 23143 \in \mathbf{PW}$

Tassement

Exemple

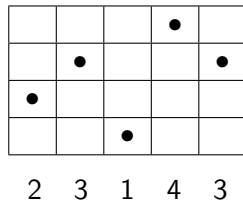
$24154 \notin \mathbf{PW}$ mais $\text{pack}(24154) = 23143 \in \mathbf{PW}$

Une représentation : $\#\text{lignes} \leq \#\text{colonnes}$



retrait lignes vides

$\rightarrow \text{pack} \rightarrow$



Algèbre de Hopf

Exemple

WQSym

- $3112 + 212 - 3 \cdot 212341 - \frac{5}{3} \cdot 111$

Algèbre de Hopf

Exemple

WQSym

- $\mathbb{R}_{3112} + \mathbb{R}_{212} - 3\mathbb{R}_{212341} - \frac{5}{3}\mathbb{R}_{111}$

Algèbre de Hopf

Exemple

WQSym

- $\mathbb{R}_{3112} + \mathbb{R}_{212} - 3\mathbb{R}_{212341} - \frac{5}{3}\mathbb{R}_{111}$
- $\mathbb{R}_{12}\mathbb{R}_{11} = \mathbb{R}_{1233} + \mathbb{R}_{1323} + \mathbb{R}_{1332} + \mathbb{R}_{3123} + \mathbb{R}_{3132} + \mathbb{R}_{3312}$

Algèbre de Hopf

Exemple

WQSym

- $\mathbb{R}_{3112} + \mathbb{R}_{212} - 3\mathbb{R}_{212341} - \frac{5}{3}\mathbb{R}_{111}$
- $\mathbb{R}_{12}\mathbb{R}_{11} = \mathbb{R}_{1233} + \mathbb{R}_{1323} + \mathbb{R}_{1332} + \mathbb{R}_{3123} + \mathbb{R}_{3132} + \mathbb{R}_{3312}$
- $\Delta(\mathbb{R}_{24231}) = \mathbb{R}_\epsilon \otimes \mathbb{R}_{24231} + \mathbb{R}_{121} \otimes \mathbb{R}_{21} + \mathbb{R}_{1312} \otimes \mathbb{R}_1 + \mathbb{R}_{24231} \otimes \mathbb{R}_\epsilon$

Algèbre de Hopf

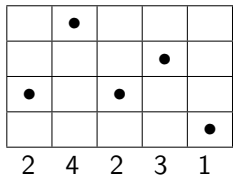
Exemple

WQSym

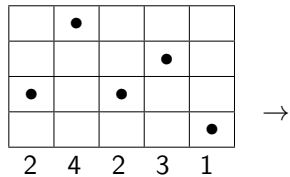
- $\mathbb{R}_{3112} + \mathbb{R}_{212} - 3\mathbb{R}_{212341} - \frac{5}{3}\mathbb{R}_{111}$
- $\mathbb{R}_{12}\mathbb{R}_{11} = \mathbb{R}_{1233} + \mathbb{R}_{1323} + \mathbb{R}_{1332} + \mathbb{R}_{3123} + \mathbb{R}_{3132} + \mathbb{R}_{3312}$
- $\Delta(\mathbb{R}_{24231}) = \mathbb{R}_\epsilon \otimes \mathbb{R}_{24231} + \mathbb{R}_{121} \otimes \mathbb{R}_{21} + \mathbb{R}_{1312} \otimes \mathbb{R}_1 + \mathbb{R}_{24231} \otimes \mathbb{R}_\epsilon$

- Un produit associatif unitaire \cdot
- Un coproduit coassociatif counitaire Δ
- La relation de Hopf $\Delta(a \cdot b) = \Delta(a) \cdot \Delta(b)$

Déconcaténation réduite



Déconcaténation réduite



Déconcaténation réduite

		•				
				•		
•			•			
						•
2	4	2	3	1		



		•				
				•		
•			•			
						•
2	4	2	3	1		



Déconcaténation réduite

		•				
				•		
•			•			
						•
2	4	2	3	1		



		•				
				•		
•			•			
						•
2	4	2	3	1		

		•				
					•	
•			•			
						•
2	4	2	3	1		

Déconcaténation réduite

		•				
				•		
•			•			
						•
2	4	2	3	1		

		•				
				•		
•			•			
						•
2	4	2	3	1		

→

		•				
				•		
•			•			
						•
2	4	2	3	1		

Déconcaténation réduite

	•				
			•		
•		•			
					•

2 4 2 3 1

		•			
			•		
•		•			
					•

2 4 2 3 1

+

		•			
			•		
•		•			
					•

2 4 2 3 1

→

		•			
			•		
•		•			
					•

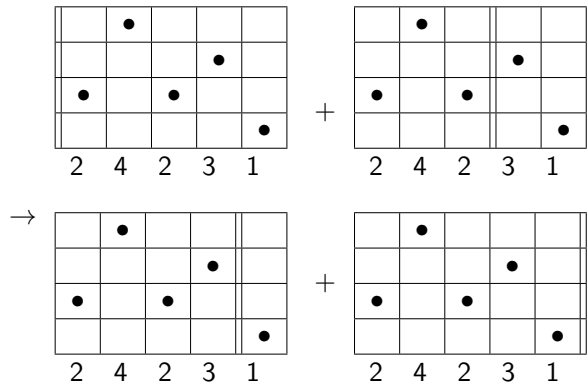
2 4 2 3 1

+

		•			
			•		
•		•			
					•

2 4 2 3 1

Déconcaténation réduite

 \mathbb{R}_{24231} 

Déconcaténation réduite

$$\mathbb{R}_\epsilon \otimes \mathbb{R}_{24231}$$

$$\mathbb{R}_{24231}$$

Δ

\rightarrow

		•				
				•		
•			•			
						•
2	4	2	3	1		

+

	•				
				•	
•			•		
					•
2	4	2	3	1	

+

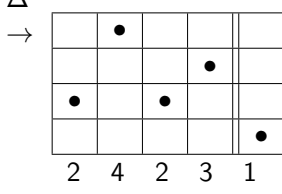
	•				
				•	
•			•		
					•
2	4	2	3	1	

Déconcaténation réduite

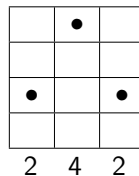
$$\mathbb{R}_\epsilon \otimes \mathbb{R}_{24231}$$

$$\mathbb{R}_{24231}$$

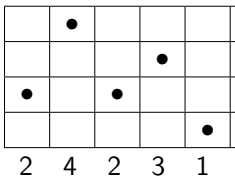
Δ



+



+



Déconcaténation réduite

$$\begin{aligned}
 & \mathbb{R}_\epsilon \otimes \mathbb{R}_{24231} \\
 + & \begin{array}{c} \text{---} \\ \text{---} \\ \text{---} \\ \text{---} \\ \text{---} \end{array} \\
 & \mathbb{R}_{24231} \\
 \Delta \rightarrow & \begin{array}{c} \text{---} \\ \text{---} \\ \text{---} \\ \text{---} \\ \text{---} \end{array} \\
 & \begin{array}{ccccc} & \bullet & & & \\ & & & & \\ & & & \bullet & \\ & \bullet & & \bullet & \\ & & & & \bullet \end{array} \\
 & \begin{array}{ccccc} 2 & 4 & 2 & 3 & 1 \end{array} \\
 + & \begin{array}{c} \text{---} \\ \text{---} \\ \text{---} \\ \text{---} \\ \text{---} \end{array} \\
 & \begin{array}{ccccc} & \bullet & & & \\ & & & & \\ & & & \bullet & \\ & \bullet & & \bullet & \\ & & & & \bullet \end{array} \\
 & \begin{array}{ccccc} 2 & 4 & 2 & 3 & 1 \end{array}
 \end{aligned}$$

Déconcaténation réduite

$$\mathbb{R}_\epsilon \otimes \mathbb{R}_{24231}$$

+

$$\mathbb{R}_{121} \otimes \mathbb{R}_{21}$$

$$\mathbb{R}_{24231}$$

 Δ
→

		•				
				•		
•			•			
					•	
2	4	2	3	1		

+

	•					
			•			
•				•		
					•	
2	4	2	3	1		

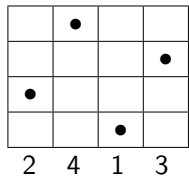
Déconcaténation réduite

$$\mathbb{R}_\epsilon \otimes \mathbb{R}_{24231} + \mathbb{R}_{121} \otimes \mathbb{R}_{21}$$

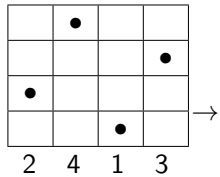
$$\mathbb{R}_{24231} \xrightarrow{\Delta}$$

$$\mathbb{R}_{1312} \otimes \mathbb{R}_1 + \mathbb{R}_{24231} \otimes \mathbb{R}_\epsilon$$

Désassemblage horizontal



Désassemblage horizontale



Désassemblage horizontal

		•			
					•
•					
			•		

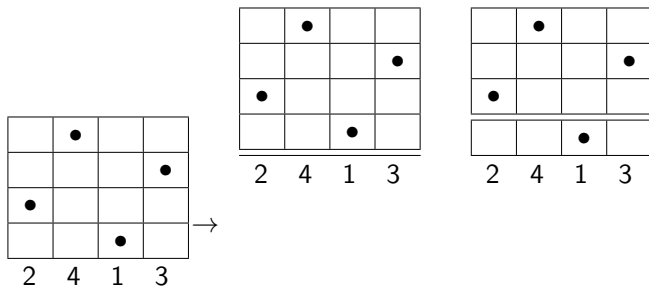
2 4 1 3



		•			
					•
•					
			•		

2 4 1 3

Désassemblage horizontal



Désassemblage horizontal

	•			
			•	
•				
		•		

2 4 1 3



	•			
				•
•				
		•		

2 4 1 3

	•			
				•
•				
		•		

2 4 1 3

	•			
				•
•				
		•		

2 4 1 3

Désassemblage horizontal

	•			
				•
•				
		•		

2 4 1 3



	•			
				•
•				
		•		

2 4 1 3

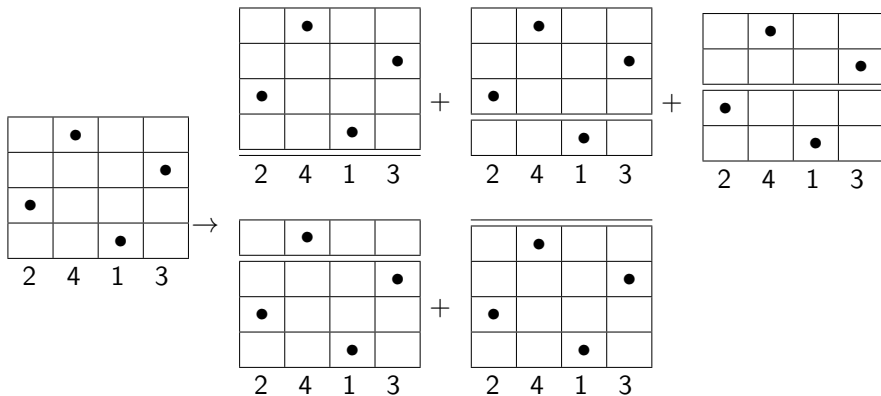
	•			
				•
•				
		•		

2 4 1 3

	•			
				•
•				
		•		

2 4 1 3

Désassemblage horizontal



Désassemblage horizontal

 Q_{2413}

$$\begin{array}{c} \Delta \\ \rightarrow \end{array} \begin{array}{c} \begin{array}{cccc} & \bullet & & \\ & & & \\ & & & \\ & & & \\ \bullet & & & \\ & & & \\ & & & \\ & & & \\ & & & \bullet \\ \hline 2 & 4 & 1 & 3 \end{array} + \begin{array}{cccc} & \bullet & & \\ & & & \\ & & & \\ & & & \\ \bullet & & & \\ & & & \\ & & & \\ & & & \\ & & & \bullet \\ \hline 2 & 4 & 1 & 3 \end{array} + \begin{array}{cccc} & \bullet & & \\ & & & \\ & & & \\ & & & \\ & & & \\ \bullet & & & \\ & & & \\ & & & \\ & & & \\ & & & \bullet \\ \hline 2 & 4 & 1 & 3 \end{array} \\ + \begin{array}{cccc} & \bullet & & \\ & & & \\ & & & \\ & & & \\ & & & \\ \bullet & & & \\ & & & \\ & & & \\ & & & \\ & & & \bullet \\ \hline 2 & 4 & 1 & 3 \end{array} + \begin{array}{cccc} & \bullet & & \\ & & & \\ & & & \\ & & & \\ & & & \\ \bullet & & & \\ & & & \\ & & & \\ & & & \\ & & & \bullet \\ \hline 2 & 4 & 1 & 3 \end{array} \end{array}$$

Désassemblage horizontal

 \mathbb{Q}_{2413} Δ
→

		•		
•				•
			•	

2 4 1 3

+

		•		
•				•
			•	

2 4 1 3

 $\mathbb{Q}_\epsilon \otimes \mathbb{Q}_{2413+}$

	•		
•			•
		•	

2 4 1 3

+

	•		
•			•
		•	

2 4 1 3

Désassemblage horizontal

$$\mathbb{Q}_\epsilon \otimes \mathbb{Q}_{2413+}$$

$$\mathbb{Q}_{2413}$$

Δ

$$\begin{array}{c} \rightarrow \\ \begin{array}{|c|c|c|c|} \hline & & \bullet & \\ \hline & & & \\ \hline & & & \\ \hline & & & \\ \hline \end{array} \end{array} + \begin{array}{c} \rightarrow \\ \begin{array}{|c|c|c|c|} \hline & & & \bullet \\ \hline & & & \\ \hline & & \bullet & \\ \hline & & & \\ \hline \end{array} \end{array}$$

2 4 1 3

+

$$\begin{array}{c} \rightarrow \\ \begin{array}{|c|c|c|c|} \hline & & \bullet & \\ \hline & & & \\ \hline & \bullet & & \\ \hline & & & \\ \hline \end{array} \end{array} + \begin{array}{c} \rightarrow \\ \begin{array}{|c|c|c|c|} \hline & & & \\ \hline & & & \\ \hline & & \bullet & \\ \hline & & & \\ \hline \end{array} \end{array}$$

2 4 1 3

+

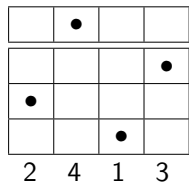
$$\begin{array}{c} \rightarrow \\ \begin{array}{|c|c|c|c|} \hline & & \bullet & \\ \hline & & & \\ \hline \bullet & & & \\ \hline & & & \\ \hline \end{array} \end{array} + \begin{array}{c} \rightarrow \\ \begin{array}{|c|c|c|c|} \hline & & \bullet & \\ \hline & & & \\ \hline & \bullet & & \\ \hline & & & \\ \hline \end{array} \end{array}$$

1 3 2

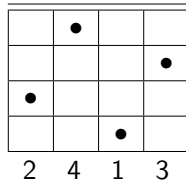
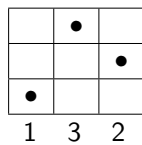
$$\begin{array}{c} \rightarrow \\ \begin{array}{|c|c|c|c|} \hline & & \bullet & \\ \hline & & & \\ \hline & \bullet & & \\ \hline & & & \\ \hline \end{array} \end{array} + \begin{array}{c} \rightarrow \\ \begin{array}{|c|c|c|c|} \hline & & \bullet & \\ \hline & & & \\ \hline & & \bullet & \\ \hline & & & \\ \hline \end{array} \end{array}$$

2 4 1 3

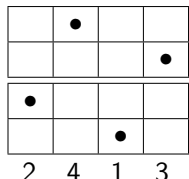
Désassemblage horizontal

 \mathbb{Q}_{2413}
 Δ
 \rightarrow


+


 $\mathbb{Q}_\epsilon \otimes \mathbb{Q}_{2413+}$


+



Désassemblage horizontal

$$\mathbb{Q}_\epsilon \otimes \mathbb{Q}_{2413} + \mathbb{Q}_1 \otimes \mathbb{Q}_{132} +$$

 \mathbb{Q}_{2413}
 Δ
 \rightarrow

		•		
				•
•				
			•	

2 4 1 3

+

		•		
				•
•				
			•	

2 4 1 3

	•		
			•
•			
			•

2 4 1 3

Désassemblage horizontale

$$\mathbb{Q}_\epsilon \otimes \mathbb{Q}_{2413} + \mathbb{Q}_1 \otimes \mathbb{Q}_{132} + \mathbb{Q}_{21} \otimes \mathbb{Q}_{21}$$

$$\begin{array}{ccc} \mathbb{Q}_{2413} & \xrightarrow{\Delta} & \\ \rightarrow & & \end{array}$$

$$\mathbb{Q}_{213} \otimes \mathbb{Q}_1 + \mathbb{Q}_{2413} \otimes \mathbb{Q}_\epsilon$$

Auto-dualité

- \mathbb{R} et \mathbb{Q} bases de **WQSym** et **WQSym***

Auto-dualité

- \mathbb{R} et \mathbb{Q} bases de **WQSym** et **WQSym***
- 2001 Duchamp-Hivert-Thibon conjecturent l'auto-dualité de **WQSym**

Auto-dualité

- \mathbb{R} et \mathbb{Q} bases de **WQSym** et **WQSym***
- 2001 Duchamp-Hivert-Thibon conjecturent l'auto-dualité de **WQSym**
- 2005 Foissy démontre l'auto-dualité des bigèbre bidendriforme (rigidité)

Auto-dualité

- \mathbb{R} et \mathbb{Q} bases de **WQSym** et **WQSym***
- 2001 Duchamp-Hivert-Thibon conjecturent l'auto-dualité de **WQSym**
- 2005 Foissy démontre l'auto-dualité des bigèbre bidendriforme (rigidité)
- Pas d'isomorphisme explicite

Demis coproduits

Exemple de coproduits gauche et droit

- $\tilde{\Delta}(\mathbb{R}_{24\underset{5}{2}\underline{5}31}) = \mathbb{R}_{121} \otimes \mathbb{R}_{\underline{3}321} + \mathbb{R}_{121\underline{3}3} \otimes \mathbb{R}_{21} + \mathbb{R}_{131\underline{4}42} \otimes \mathbb{R}_1$

Demis coproduits

Exemple de coproduits gauche et droit

- $\tilde{\Delta}(\mathbb{R}_{242\cancel{5}531}) = \mathbb{R}_{121} \otimes \mathbb{R}_{\cancel{3}321} + \mathbb{R}_{121\cancel{33}} \otimes \mathbb{R}_{21} + \mathbb{R}_{131\cancel{44}2} \otimes \mathbb{R}_1$
- $\Delta_{\prec}(\mathbb{R}_{242\cancel{5}531}) = \mathbb{R}_{121\cancel{33}} \otimes \mathbb{R}_{21} + \mathbb{R}_{131\cancel{44}2} \otimes \mathbb{R}_1$
- $\Delta_{\succ}(\mathbb{R}_{242\cancel{5}531}) = \mathbb{R}_{121} \otimes \mathbb{R}_{\cancel{3}321}$

Demis coproduits

Définitions

- $\Delta_{\prec}(\mathbb{R}_u) := \sum_{\substack{i=1 \\ \{u_1, \dots, u_i\} \cap \{u_{i+1}, \dots, u_n\} = \emptyset \\ u_k = \max(u)}}^{n-1} \mathbb{R}_{\text{pack}(u_1 \cdots u_i)} \otimes \mathbb{R}_{\text{pack}(u_{i+1} \cdots u_n)},$
- $\Delta_{\succ}(\mathbb{R}_u) := \sum_{\substack{i=1 \\ \{u_1, \dots, u_i\} \cap \{u_{i+1}, \dots, u_n\} = \emptyset \\ u_k = \max(u)}}^{k-1} \mathbb{R}_{\text{pack}(u_1 \cdots u_i)} \otimes \mathbb{R}_{\text{pack}(u_{i+1} \cdots u_n)}$

Exemple de coproduits gauche et droit

- $\tilde{\Delta}(\mathbb{R}_{242\underline{55}31}) = \mathbb{R}_{121} \otimes \mathbb{R}_{\underline{33}21} + \mathbb{R}_{121\underline{33}} \otimes \mathbb{R}_{21} + \mathbb{R}_{131\underline{44}2} \otimes \mathbb{R}_1$
- $\Delta_{\prec}(\mathbb{R}_{242\underline{55}31}) = \mathbb{R}_{121\underline{33}} \otimes \mathbb{R}_{21} + \mathbb{R}_{131\underline{44}2} \otimes \mathbb{R}_1$
- $\Delta_{\succ}(\mathbb{R}_{242\underline{55}31}) = \mathbb{R}_{121} \otimes \mathbb{R}_{\underline{33}21}$

Bigèbre bidendriforme

Définition

- Raffinement de l'associativité et la coassociativité
 - 3 et 3 équations

Bigèbre bidendriforme

Définition

- Raffinement de l'associativité et la coassociativité
 - 3 et 3 équations
- Raffinement de la relation de Hopf
 - 4 équations

Bigèbre bidendriforme

Définition

- Raffinement de l'associativité et la coassociativité
 - 3 et 3 équations
- Raffinement de la relation de Hopf
 - 4 équations

Théorème [Foissy]

Si A est une bigèbre bidendriforme alors A est généré librement par $T\text{Prim}(A)$ en tant qu'algèbre dendriforme.

Bigèbre bidendriforme

Définition

- Raffinement de l'associativité et la coassociativité
 - 3 et 3 équations
- Raffinement de la relation de Hopf
 - 4 équations

Théorème [Foissy]

Si A est une bigèbre bidendriforme alors A est généré librement par $T\text{Prim}(A)$ en tant qu'algèbre dendriforme.

Séries

n	1	2	3	4	5	6	7	8
\mathbf{WQSym}_n	1	3	13	75	541	4 683	47 293	545 835
$\mathbf{T\text{Prim}}_n$	1	1	4	28	240	2 384	26 832	337 168

Bigèbre bidendriforme

Définition

- Raffinement de l'associativité et la coassociativité
 - 3 et 3 équations
- Raffinement de la relation de Hopf
 - 4 équations

Théorème [Foissy]

Si A est une bigèbre bidendriforme alors A est généré librement par $T\text{Prim}(A)$ en tant qu'algèbre dendriforme.

Corollaire

WQSym est auto-duale.

Définitions

Élément primitif

P est un élément primitif $\iff \tilde{\Delta}(P) = 0$

Ex : $\mathbb{R}_{1213} - \mathbb{R}_{2321}$

Définitions

Élément primitif

P est un élément primitif $\iff \tilde{\Delta}(P) = 0$

Ex : $\mathbb{R}_{1213} - \mathbb{R}_{2321}$

$$\tilde{\Delta}(\mathbb{R}_{1213}) = \Delta_{\succ}(\mathbb{R}_{1213}) = \mathbb{R}_{121} \otimes \mathbb{R}_1$$

$$\tilde{\Delta}(\mathbb{R}_{2321}) = \Delta_{\prec}(\mathbb{R}_{2321}) = \mathbb{R}_{121} \otimes \mathbb{R}_1$$

Définitions

Élément primitif

P est un élément primitif $\iff \tilde{\Delta}(P) = 0$

Ex : $\mathbb{R}_{1213} - \mathbb{R}_{2321}$

$$\tilde{\Delta}(\mathbb{R}_{1213}) = \Delta_{\succ}(\mathbb{R}_{1213}) = \mathbb{R}_{121} \otimes \mathbb{R}_1$$

$$\tilde{\Delta}(\mathbb{R}_{2321}) = \Delta_{\prec}(\mathbb{R}_{2321}) = \mathbb{R}_{121} \otimes \mathbb{R}_1$$

Élément totalement primitif

P est un élément totalement primitif $\iff \Delta_{\prec}(P) = \Delta_{\succ}(P) = 0$

Ex : $\mathbb{R}_{12443} - \mathbb{R}_{21443} - \mathbb{R}_{23441} + \mathbb{R}_{32441}$

Définitions

Élément primitif

P est un élément primitif $\iff \tilde{\Delta}(P) = 0$

Ex : $\mathbb{R}_{1213} - \mathbb{R}_{2321}$

$$\tilde{\Delta}(\mathbb{R}_{1213}) = \Delta_{\succ}(\mathbb{R}_{1213}) = \mathbb{R}_{121} \otimes \mathbb{R}_1$$

$$\tilde{\Delta}(\mathbb{R}_{2321}) = \Delta_{\prec}(\mathbb{R}_{2321}) = \mathbb{R}_{121} \otimes \mathbb{R}_1$$

Élément totalement primitif

P est un élément totalement primitif $\iff \Delta_{\prec}(P) = \Delta_{\succ}(P) = 0$

Ex : $\mathbb{R}_{12443} - \mathbb{R}_{21443} - \mathbb{R}_{23441} + \mathbb{R}_{32441}$

$$\tilde{\Delta}(\mathbb{R}_{12443}) = \mathbb{R}_{1233} \otimes \mathbb{R}_1 \quad \mathbb{R}_{12} \otimes \mathbb{R}_{221} + \mathbb{R}_1 \otimes \mathbb{R}_{1332}$$

$$\tilde{\Delta}(\mathbb{R}_{21443}) = \mathbb{R}_{2133} \otimes \mathbb{R}_1 \quad \mathbb{R}_{21} \otimes \mathbb{R}_{221} + \mathbb{R}_1 \otimes \mathbb{R}_{1332}$$

$$\tilde{\Delta}(\mathbb{R}_{23441}) = \mathbb{R}_{1233} \otimes \mathbb{R}_1 \quad \mathbb{R}_{12} \otimes \mathbb{R}_{221} + \mathbb{R}_1 \otimes \mathbb{R}_{2331}$$

$$\tilde{\Delta}(\mathbb{R}_{32441}) = \mathbb{R}_{2133} \otimes \mathbb{R}_1 \quad \mathbb{R}_{21} \otimes \mathbb{R}_{221} + \mathbb{R}_1 \otimes \mathbb{R}_{2331}$$

Mon but

Isomorphisme bidendriforme explicite entre **WQSym** et sa duale

Mon but

Isomorphisme bidendriforme explicite entre **WQSym** et sa duale



Isomorphisme explicite entre $T\text{Prim}(\mathbf{WQSym})$ et le dual

Mon but

Isomorphisme bidendriforme explicite entre **WQSym** et sa duale



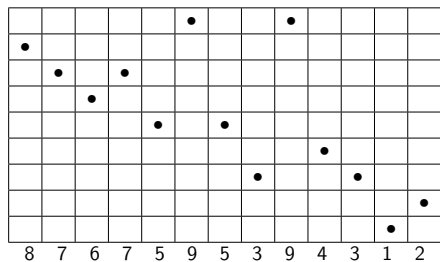
Isomorphisme explicite entre $T\text{Prim}(\mathbf{WQSym})$ et le dual

Construction de deux bases de totalement primitif
(dans **WQSym** et **WQSym** *)

Forêts biplanes, représentation de décompositions

	Squelettes	
	Arbres tassés	
	Arbres bicolores	

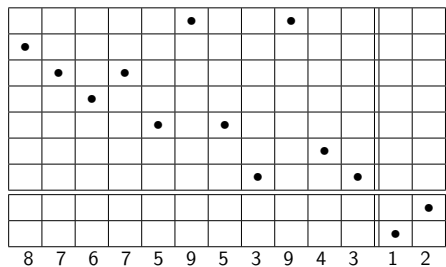
Squelette rouge de 8767595394312

 $F_{ske}(8767595394312)$ 

Squelette rouge de 8767595394312

$$F_{\text{ske}}(8767595394312)$$

Factorisation en descentes globales

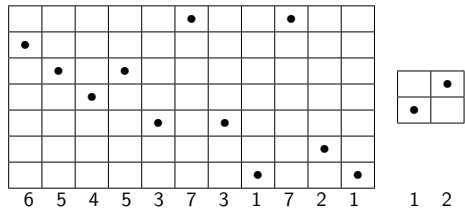


Squelette rouge de 8767595394312

$F_{ske}(8767595394312) =$

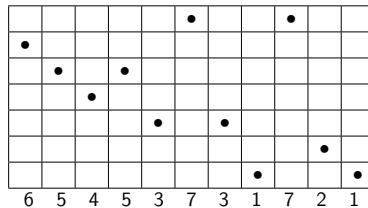
$T_{ske}(65453731721) T_{ske}(12)$

Factorisation en descentes globales
+ tassemment



Squelette rouge de 8767595394312

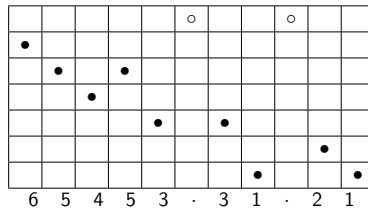
$$\begin{aligned} F_{ske}(8767595394312) = \\ T_{ske}(65453731721) T_{ske}(12) \end{aligned}$$



Squelette rouge de 8767595394312

$$F_{ske}(8767595394312) = \\ T_{ske}(65453731721)T_{ske}(12)$$

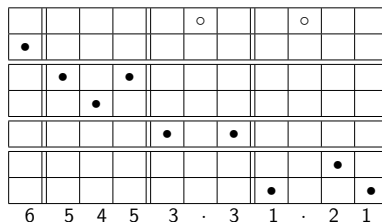
Retrait des lettres de valeur max



Squelette rouge de 8767595394312

$$\begin{aligned} F_{ske}(8767595394312) = \\ T_{ske}(65453731721) T_{ske}(12) \end{aligned}$$

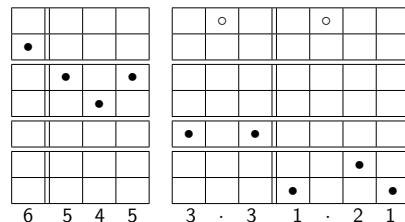
Factorisation en descentes globales



Squelette rouge de 8767595394312

$$\begin{aligned} F_{ske}(8767595394312) = \\ T_{ske}(65453731721) T_{ske}(12) \end{aligned}$$

Distinction de deux groupes de facteurs

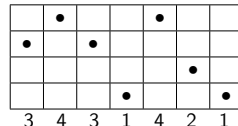
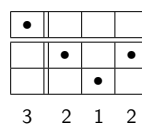


Squelette rouge de 8767595394312

$$F_{ske}(8767595394312) =$$

$$T_{ske}(65453731721) T_{ske}(12)$$

Remise des lettres de valeur max +
tassemement



Squelette rouge de 8767595394312

$$F_{ske}(8767595394312) =$$

$$T_{ske}(65453731721) T_{ske}(12) =$$



$F_{ske}(3212)$

$$T_{ske}(12)$$

3431421 est
Irréductible rouge

•				
•	•		•	•
•		•		

3 2 1 2

•				
•		•		•
•			•	
•				•
•				•

3 4 3 1 4 2 1

Irréductible rouge

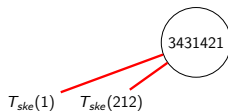
Un mot tassé w est **rouge irréductible** si il n'est pas décomposable par cet algorithme.

Squelette rouge de 8767595394312

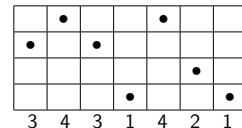
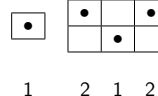
$$F_{ske}(8767595394312) =$$

On boucle

$$T_{ske}(65453731721) T_{ske}(12) =$$



$$T_{ske}(12)$$

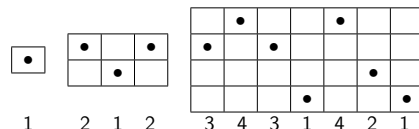
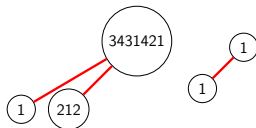


Irréductible rouge

Un mot tassé w est **rouge irréductible** si il n'est pas décomposable par cet algorithme.

Squelette rouge de 8767595394312

$F_{ske}(8767595394312) =$

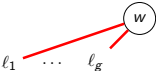


Irréductible rouge

Un mot tassé w est **rouge irréductible** si il n'est pas décomposable par cet algorithme.

$$\forall n, \text{RougeIrréductible}_n = \text{TPrim}_n.$$

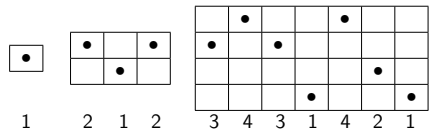
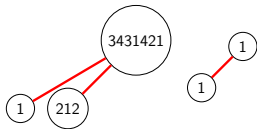
Le début de la base \mathbb{P}

$$\begin{aligned}\mathbb{P}_{(1)} &:= \mathbb{R}_1, \\ \mathbb{P}_{t_1, \dots, t_k} &:= (\dots (\mathbb{P}_{t_k} \prec \dots) \prec \mathbb{P}_{t_2}) \prec \mathbb{P}_{t_1}, \\ \mathbb{P} &:= \langle \mathbb{P}_{\ell_1}, \mathbb{P}_{\ell_2}, \dots, \mathbb{P}_{\ell_g}; \mathbb{P}_{T(w)} \rangle.\end{aligned}$$


Forêt rouge de 8767595394312

La partie droite!

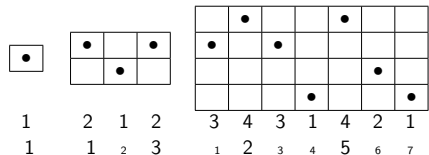
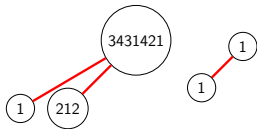
$$F(8767595394312) =$$



Forêt rouge de 8767595394312

Positions des max

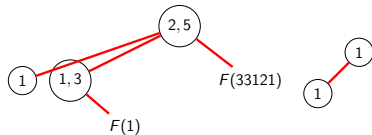
$$F(8767595394312) =$$



Forêt rouge de 8767595394312

Fils droits

$$F(8767595394312) =$$

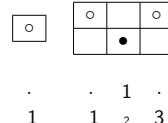
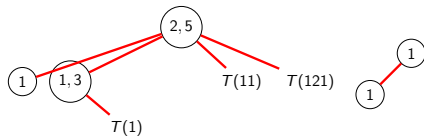


$$F(33121)$$

Forêt rouge de 8767595394312

On reboucle

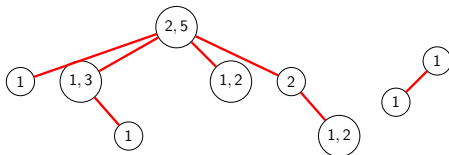
$$F(8767595394312) =$$



3	.	3	1	.	2	1
1	2	3	4	5	6	7

Forêt rouge de 8767595394312

$$F(8767595394312) =$$



La base \mathbb{P}

$$\mathbb{P}_{\textcircled{1}} := \mathbb{R}_1,$$

$$\mathbb{P}_{t_1, \dots, t_k} := (\dots (\mathbb{P}_{t_k} \prec \dots) \prec \mathbb{P}_{t_2}) \prec \mathbb{P}_{t_1},$$

$$\mathbb{P} := \langle \mathbb{P}_{\ell_1}, \mathbb{P}_{\ell_2}, \dots, \mathbb{P}_{\ell_g}; \mathbb{P}_{T(w)} \rangle,$$

$$\mathbb{P} := \Phi_I(\mathbb{P}_{r_1, \dots, r_d}).$$

La base \mathbb{P}

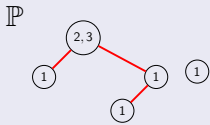
$$\mathbb{P}_{(1)} := \mathbb{R}_1,$$

$$\mathbb{P}_{t_1, \dots, t_k} := (\dots (\mathbb{P}_{t_k} \prec \dots) \prec \mathbb{P}_{t_2}) \prec \mathbb{P}_{t_1},$$

$$\mathbb{P} := \langle \mathbb{P}_{\ell_1}, \mathbb{P}_{\ell_2}, \dots, \mathbb{P}_{\ell_g}; \mathbb{P}_{T(w)} \rangle,$$

$$\mathbb{P}_{(I)} := \Phi_I(\mathbb{P}_{r_1, \dots, r_d}).$$

Exemple



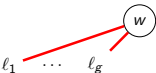
$$\begin{aligned} \mathbb{P} = & \mathbb{R}_{235541} - \mathbb{R}_{245531} - \mathbb{R}_{244531} - \mathbb{R}_{245431} - \\ & \mathbb{R}_{254431} + \mathbb{R}_{325541} - \mathbb{R}_{425531} - \mathbb{R}_{524431} + \\ & \mathbb{R}_{352541} - \mathbb{R}_{452531} + \mathbb{R}_{355241} - \mathbb{R}_{455231} + \\ & \mathbb{R}_{344521} + \mathbb{R}_{345421} + \mathbb{R}_{354421} + \mathbb{R}_{534421} \end{aligned}$$



La base \mathbb{P}

$$\mathbb{P}_{(1)} := \mathbb{R}_1,$$

$$\mathbb{P}_{t_1, \dots, t_k} := (\dots (\mathbb{P}_{t_k} \prec \dots) \prec \mathbb{P}_{t_2}) \prec \mathbb{P}_{t_1},$$

$$\mathbb{P} := \langle \mathbb{P}_{\ell_1}, \mathbb{P}_{\ell_2}, \dots, \mathbb{P}_{\ell_g}; \mathbb{P}_{T(w)} \rangle,$$


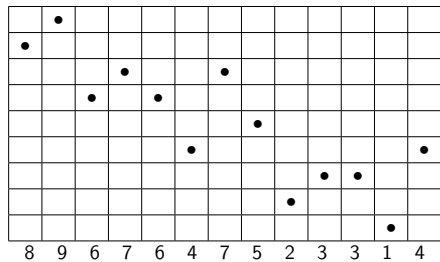
$$\mathbb{P}_{(I)} := \Phi_I(\mathbb{P}_{r_1, \dots, r_d}).$$


Théorème [M.]

- $(\mathbb{P}_f)_{f \in \mathfrak{F}_n}$ est une base de \mathbf{WQSym}_n ,
- $(\mathbb{P}_t)_{t \in \mathfrak{T}_n}$ est une base de Prim_n ,
- $(\mathbb{P}_t)_{t \in \mathfrak{P}_n}$ est une base de TPrim_n .



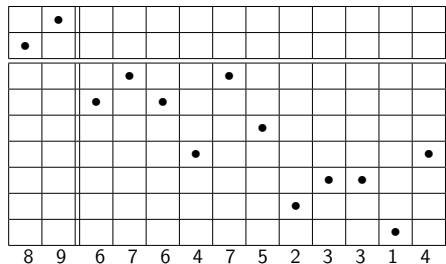
Squelette bleu de 8967647523314

 $F_{ske}^*(8967647523314)$ 

Squelette bleu de 8967647523314

 $F_{ske}^*(8967647523314)$

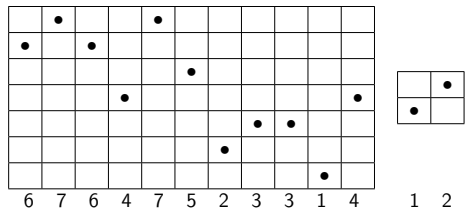
Factorisation en descentes globales



Squelette bleu de 8967647523314

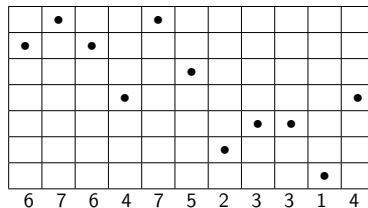
$$F_{ske}^*(8967647523314) = \\ T_{ske}^*(67647523314) T_{ske}^*(12)$$

Factorisation en descentes globales
+ tassemement + échange



Squelette bleu de 8967647523314

$$F_{ske}^*(8967647523314) = \\ T_{ske}^*(67647523314) T_{ske}^*(12)$$

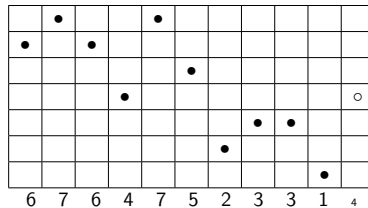


Squelette bleu de 8967647523314

$$F_{ske}^*(8967647523314) =$$

$$T_{ske}^*(67647523314) T_{ske}^*(12)$$

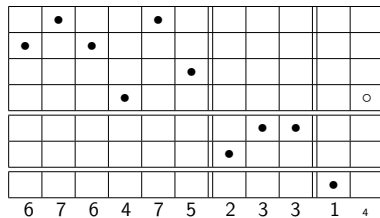
Retrait de la dernière lettre



Squelette bleu de 8967647523314

$$F_{ske}^*(8967647523314) = T_{ske}^*(67647523314) T_{ske}^*(12)$$

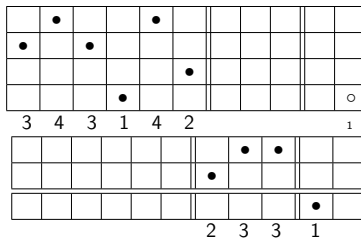
Factorisation en descentes globales



Squelette bleu de 8967647523314

$$F_{ske}^*(8967647523314) = \\ T_{ske}^*(67647523314) T_{ske}^*(12)$$

Distinction de deux groupes de facteurs



Squelette bleu de 8967647523314

$$F_{ske}^*(8967647523314) =$$

$$T_{ske}^*(67647523314) T_{ske}^*(12) =$$



$$F_{ske}^*(2331)$$

$$T_{ske}^*(12)$$

3431421 est
Irréductible bleu

	•	•		
•		•		
				•

2 3 3 1

	•			•		
•		•				
					•	
				•		
3	4	3	1	4	2	1

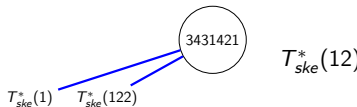
Irréductible bleu

Un mot tassé w est **bleu irréductible** si il n'est pas décomposable par cet algorithme.

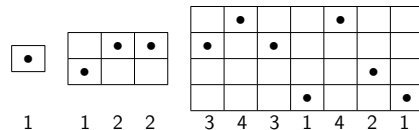
Squelette bleu de 8967647523314

$$F_{ske}^*(8967647523314) =$$

$$T_{ske}^*(67647523314) T_{ske}^*(12) =$$



On boucle

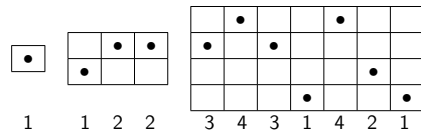
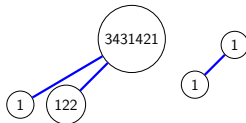


Irréductible bleu

Un mot tassé w est **bleu irréductible** si il n'est pas décomposable par cet algorithme.

Squelette bleu de 8967647523314

$$F_{ske}^*(8967647523314) =$$



Irréductible bleu

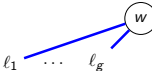
Un mot tassé w est **bleu irréductible** si il n'est pas décomposable par cet algorithme.

$$\forall n, BleuIrréductible_n = RougeIrréductible_n = TPrim_n.$$

Le début de la base \mathbb{O}

$$\mathbb{O}_{\textcircled{1}} := \mathbb{Q}_1,$$

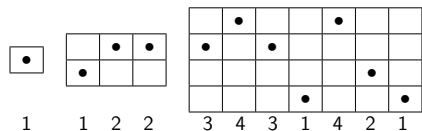
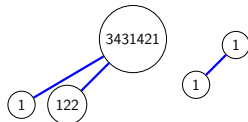
$$\mathbb{O}_{t_1, \dots, t_k} := (\dots(\mathbb{O}_{t_k} \prec \dots) \prec \mathbb{O}_{t_2}) \prec \mathbb{O}_{t_1},$$

$$\mathbb{O} := \langle \mathbb{O}_{\ell_1}, \mathbb{O}_{\ell_2}, \dots, \mathbb{O}_{\ell_g}; \mathbb{O}_{T^*(w)} \rangle.$$


Forêt bleue de 8967647523314

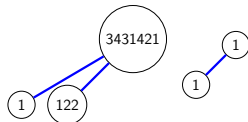
La partie droite!

$$F^*(8967647523314) =$$



Forêt bleue de 8967647523314

$$F^*(8967647523314) =$$



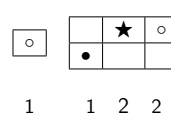
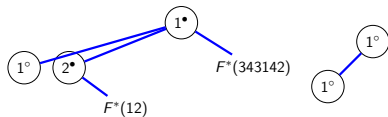
La dernière lettre est-elle présente dans le reste du mot ?

\circ	\star	\circ		\bullet			
\bullet		\bullet					
\bullet							
3	4	3	1	4	2	1	\circ
1	1	2	2				

Forêt bleue de 8967647523314

Fils droits

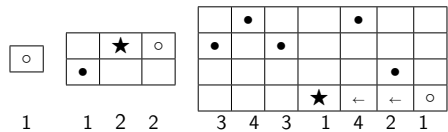
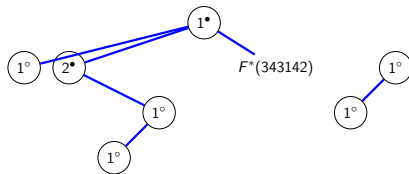
$$F^*(8967647523314) =$$



	•				•		
●		●					
3	4	3	1	4	2	1	○
			★	←	←		

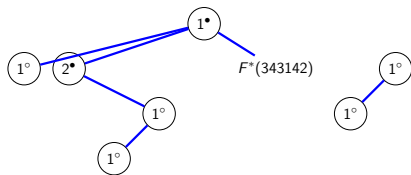
Forêt bleue de 8967647523314

$$F^*(8967647523314) =$$



Forêt bleu de 8967647523314

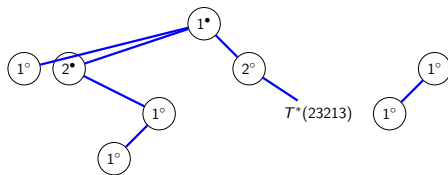
$$F^*(8967647523314) =$$



		•				•	
•			•				
							•
3	4	3	1	4	2		

Forêt bleue de 8967647523314

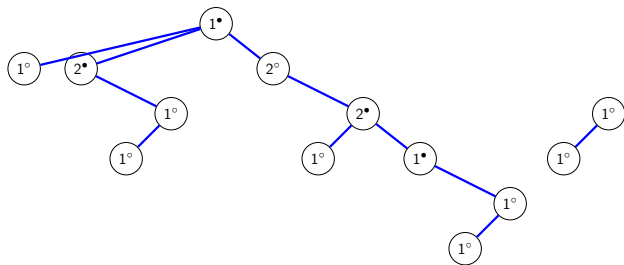
$$F^*(8967647523314) =$$



		•				•	
•			•				
X	←	←	←	←	←	○	
3	4	3	1	4	2		

Forêt bleue de 8967647523314

$$F^*(8967647523314) =$$



La base \mathbb{O}

$$\mathbb{O}_{\bigcirc_1} := \mathbb{Q}_1,$$

$$\mathbb{O}_{t_1, \dots, t_k} := (\dots(\mathbb{O}_{t_k} \prec \dots) \prec \mathbb{O}_{t_2}) \prec \mathbb{O}_{t_1},$$

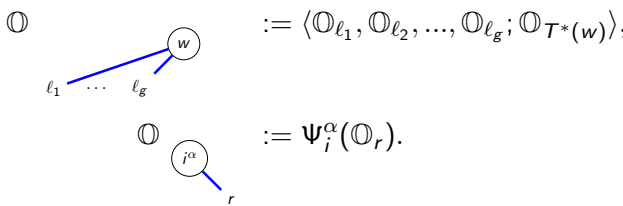
$$\mathbb{O} \quad \begin{array}{c} w \\ \swarrow \\ \ell_1 \quad \dots \quad \ell_g \end{array} \quad := \langle \mathbb{O}_{\ell_1}, \mathbb{O}_{\ell_2}, \dots, \mathbb{O}_{\ell_g}; \mathbb{O}_{T^*(w)} \rangle,$$

$$\mathbb{O} \quad \begin{array}{c} i^\alpha \\ \searrow \\ r \end{array} \quad := \Psi_i^\alpha(\mathbb{O}_r).$$

La base \mathbb{O}

$$\mathbb{O}_{\circlearrowleft_{(1)}} := \mathbb{Q}_1,$$

$$\begin{aligned} \mathbb{O}_{t_1, \dots, t_k} &:= (\dots (\mathbb{O}_{t_k} \prec \dots) \prec \mathbb{O}_{t_2}) \prec \mathbb{O}_{t_1}, \\ &:= \langle \mathbb{O}_{\ell_1}, \mathbb{O}_{\ell_2}, \dots, \mathbb{O}_{\ell_g}; \mathbb{O}_{T^*(w)} \rangle, \end{aligned}$$



Exemple

$$\begin{array}{ccc} \mathbb{O} & = & \mathbb{Q}_{531442} + \mathbb{Q}_{521443} + \mathbb{Q}_{512443} - \mathbb{Q}_{534142} - \\ & & \mathbb{Q}_{524143} - \mathbb{Q}_{514243} - \mathbb{Q}_{514432} - \mathbb{Q}_{524431} - \\ & & \mathbb{Q}_{514423} + \mathbb{Q}_{541432} + \mathbb{Q}_{542431} + \mathbb{Q}_{541423} \end{array}$$



La base \mathbb{O}

$$\begin{aligned} \mathbb{O}_{\bigcirc_1} &:= \mathbb{Q}_1, \\ \mathbb{O}_{t_1, \dots, t_k} &:= (\dots(\mathbb{O}_{t_k} \prec \dots) \prec \mathbb{O}_{t_2}) \prec \mathbb{O}_{t_1}, \\ \mathbb{O} &:= \langle \mathbb{O}_{\ell_1}, \mathbb{O}_{\ell_2}, \dots, \mathbb{O}_{\ell_g}; \mathbb{O}_{T^*(w)} \rangle, \\ \mathbb{O}_{\bigcirc_{i^\alpha}} &:= \Psi_i^\alpha(\mathbb{O}_r). \end{aligned}$$

Théorème [M.]

- $(\mathbb{O}_f)_{f \in \mathfrak{F}^*_n}$ est une base de \mathbf{WQSym}_n^* ,
- $(\mathbb{O}_t)_{t \in \mathfrak{T}^*_n}$ est une base de \mathbf{Prim}_n^* ,
- $(\mathbb{O}_t)_{t \in \mathfrak{N}^*}$ est une base de \mathbf{TPrim}_n^* .



Théorèmes [M.]

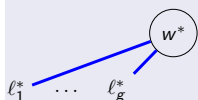
Théorème [M.]

- $(\mathbb{O}_f)_{f \in \mathfrak{F}_n^*}$ base de \mathbf{WQSym}_n^* ,
- $(\mathbb{O}_t)_{t \in \mathfrak{T}_n^*}$ base de Prim_n^* ,
- $(\mathbb{O}_t)_{t \in \mathfrak{P}_n^*}$ base de TPrim_n^* .

Théorème [M.]

- $(\mathbb{P}_f)_{f \in \mathfrak{F}_n}$ base de \mathbf{WQSym}_n ,
- $(\mathbb{P}_t)_{t \in \mathfrak{T}_n}$ base de Prim_n ,
- $(\mathbb{P}_t)_{t \in \mathfrak{P}_n}$ base de TPrim_n .

Rigidité

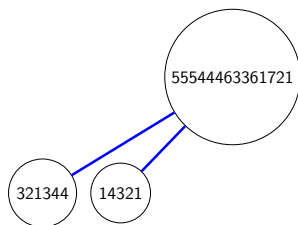


\forall bijection entre les mots irréductibles bleus et rouges,
recoloration des squelettes



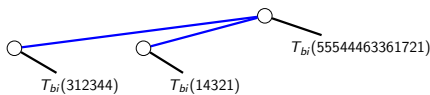
Forêts bicolores à travers un exemple

$$T_{ske}^*(13, 13, 13, 12, 12, 12, 14, 11, 11, 14, 9, \\ 15, 10, 5, 8, 7, 6, 5, 3, 2, 1, 3, 4, 4, 9) =$$



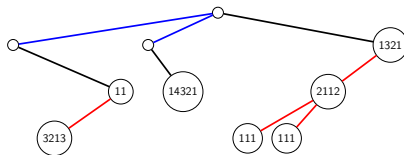
Forêts bicolores à travers un exemple

$T_{bi}^*(13, 13, 13, 12, 12, 12, 14, 11, 11, 14, 9,$
 $15, 10, 5, 8, 7, 6, 5, 3, 2, 1, 3, 4, 4, 9)$



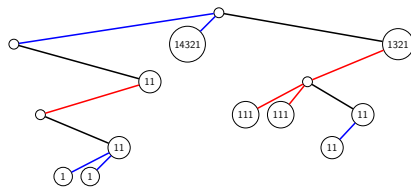
Forêts bicolores à travers un exemple

$$T_{bi}^*(13, 13, 13, 12, 12, 12, 14, 11, 11, 14, 9, \\ 15, 10, 5, 8, 7, 6, 5, 3, 2, 1, 3, 4, 4, 9)$$



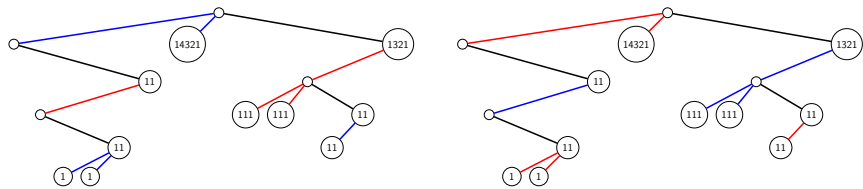
Forêts bicolores à travers un exemple

$$T_{bi}^*(13, 13, 13, 12, 12, 12, 14, 11, 11, 14, 9, \\ 15, 10, 5, 8, 7, 6, 5, 3, 2, 1, 3, 4, 4, 9) =$$



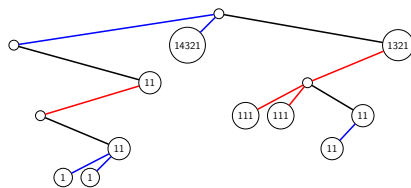
Forêts bicolores à travers un exemple

$$T_{bi}^*(13, 13, 13, 12, 12, 12, 14, 11, 11, 14, 9, \\ 15, 10, 5, 8, 7, 6, 5, 3, 2, 1, 3, 4, 4, 9) =$$

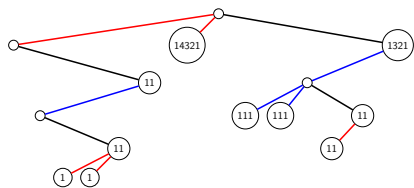


Forêts bicolores à travers un exemple

$$T_{bi}^*(13, 13, 13, 12, 12, 12, 14, 11, 11, 14, 9, \\ 15, 10, 5, 8, 7, 6, 5, 3, 2, 1, 3, 4, 4, 9) =$$



$$T_{ske}(14, 12, 11, 13, 13, 14, 7, 10, 9, 8, 7, \\ 5, 15, 6, 3, 3, 4, 2, 2, 2, 1, 1, 1, 4, 5) =$$



Théorèmes [M.]

Théorème [M.]

- $(\mathbb{O}_f)_{f \in \mathfrak{F}_n^*}$ base de \mathbf{WQSym}_n^* ,
- $(\mathbb{O}_t)_{t \in \mathfrak{T}_n^*}$ base de Prim_n^* ,
- $(\mathbb{O}_t)_{t \in \mathfrak{P}_n^*}$ base de TPrim_n^* .

Théorème [M.]

- $(\mathbb{P}_f)_{f \in \mathfrak{F}_n}$ base de \mathbf{WQSym}_n ,
- $(\mathbb{P}_t)_{t \in \mathfrak{T}_n}$ base de Prim_n ,
- $(\mathbb{P}_t)_{t \in \mathfrak{P}_n}$ base de TPrim_n .

Bijection [M.]

Involution grâce aux forêts bicolores.

Isomorphisme bidendriforme entre \mathbf{WQSym} et \mathbf{WQSym}^* .